

1. はじめに.

海浜変形は大きく大別すると、自然的要因と人為的要因とによって変形および変形過程が左右される。著者らは主に自然的要因による変形過程を対象にして、その域内在する規則性を明確にする目的で実験を行ない、その結果についてスペクトル解析を行なった。従来、流水によりほぼ水平移動床水中に発生する砂運についてスペクトル特性を調べ、砂の repose angle が波数スペクトル形を支配していること、高波数域に“一帯規則”が存在することが茅田・田中¹⁾、C.F. Nordin and J.H. Albert²⁾、日野らの研究によって指摘されている。中でも、日野らはほぼ水平移動床上に波および波と流れが作用する場合についての解析を行なっている。

海浜変形過程は、進入波が水深の変化によりある水深で碎波するので、波・水・砂の相互作用と数々の要因が重なり合って、複雑的に多岐にわたる変形特性を示す。この複雑な変形・変形過程に何らかの波の波長等に関係のある規則性が存在していないかという着目点から、ある初期波勾配を持つ傾斜移動床に波が作用させる方法で実験を行ない、この解析法を試みた。解析結果の一部はオマハ大学学術講演会等⁴⁾で報告したが、今回はこれまでの報告に継続してその考察を加えたものである。

2. 実験および解析方法.

実験は Table 1. の実験条件下で行なった。参考までにこの実験条件と J.W. Johnson, 岩垣・野田による沿岸砂州発生限界との関係を Fig. 1. に示した。また実験砂は Fig. 2. の粒径分布を持つものを使用した。

海浜変形データは初期波勾配面と静水面とが交わる点を原点として、半波長との比で縦軸に H_o/L_o を取り、海浜変形測定位置の距離 x と半波長との比で横軸に x/L_o を取り、其次元海浜変形として整理した (Fig. 3, (A))。 x/L_o の位置で、初期波勾配面からの海浜変形は鉛直方向の海浜変動量 $\varphi(x)$ として表わされる (Fig. 3, (B))。この $\varphi(x)$ は水平な軸面上に、上側 (+) を堆積下側 (-) を侵食として、初期波勾配面からの変動を鉛直方向に投影したものと考えることができる。したがって、 $\varphi(x)$ は二次元的変動として表現できるので、自己相関関数 $C(\tau)$ および波数スペクトル $S(k)$ を求めることができる。この計算は Blakeman & Tukey 法により

Table 1. Summary of experimental conditions.

Run number	Grain size d_{50} mm	Initial beach slope i	Steepness of deep water wave H_o/L_o	H_o/d_{50}	Elapsed time of wave operation time t hrs.	water depth om
(1)	(2)	(3)	(4)	(5)	(6)	(7)
1	1.20	1/10	0.0314	147.5	0.5 1 2 4 6 8	45
2	1.20	1/10	0.0054	56.6	0.5 1 2 4 6 8	45
3	1.20	1/18	0.0314	147.5	0.5 1 2 4 6 8	45
4	1.20	1/18	0.0054	56.6	0.5 1 2 4 6 8	45
5	0.24	1/18	0.0054	340.0	0.5 1 2 4 6 8	45
6	0.24	1/18	0.0314	885.0	0.5 1 2 4 6 8	45
7	0.24	1/10	0.0054	340.0	0.5 1 2 4 6 8	45
8	0.24	1/10	0.0314	885.0	0.5 1 2 4 6 8	45

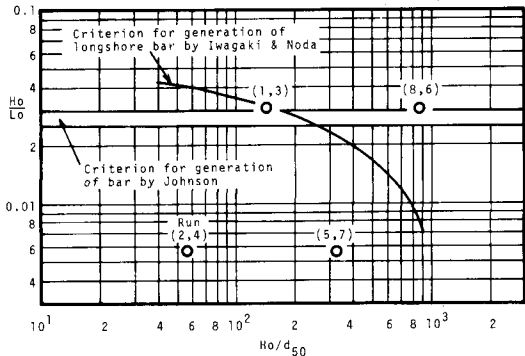


Fig. 1. Comparison between experimental conditions and criterion for generation of bar or longshore bar.

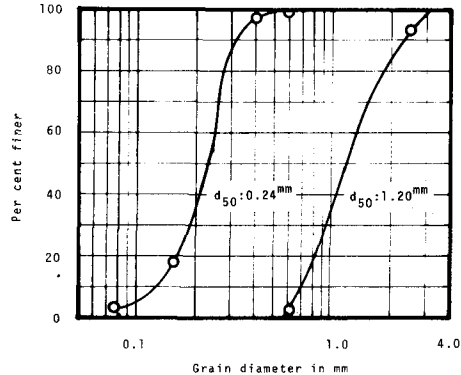


Fig. 2. Grain size distribution curves.

データの読み取り間隔 $\Delta t = 0.01 \frac{x}{L_0}$, lag数=90, 全データ数=1000 で行った。この時の自由度は約25である。この計算で得られた値を各Run を通じて波の作用時間ごとに波数スペクトルを整理した。波の作用時間が8時間の場合の波数スペクトルの一例を Fig. 4. に示す。

る。計算結果とその考察。

i) 実験条件による海波変形スペクトル曲線の相違と曲線自体の変動は海波変形の発達過程から平衡形状に移るにつれてこれらの相違と変動は減少する傾向にある。換言すれば、海波変形は平衡形状に近づくにつれて一定の規則性を帯びることを意味している。

ii) さらに、波数スペクトルは高波数域より低波数域での発達が著しく、 $\approx 1 \sim 2 \text{ cycle}/\frac{x}{L_0}$ にピーク値が存在する。したがって、海波変形波長と沖波々長との間に $\approx L_0 \sim \frac{L_0}{2}$ の関係が存在するようである。

iii) オフ年次学術講演会で著者らは Run No. 5 の条件で、Flat な初期平均勾配面から、8時間後の平衡形状に達するまでの波数スペクトルを計算し、高波数域に $S(k) \propto k^{-4.3}$ の関係が成立することを述べた。しかし、全体の実験 (Run No. 1 ~ 8) について整理すると、Fig. 4. で明らかのように高波数域に1/3程度の減衰と同様に一乗則 ($S(k) \propto k^{-1}$) が成立することがわかった。さらに、 $t = 0.5 \sim 6 \text{ hrs.}$ の間でもこの関係が成立している。これらの事実から、海波変形の発達から平衡形状に到達するまでの間も一乗則が成立することが改めて指摘される。

iv) この実験的研究は、ある勾配を持つ Flat な傾斜面からの海波変形発達過程について検討を行なった。今後の研究方針として、実際の海波変形と類似させるために、ある波によって平衡形状が造られた後、波の強さが変化することにより、次の新しい平衡形状に発達・到達するまでの海波変形過程のスペクトルを明らかにする必要があると考えている。

参考文献

- 1) 芦田、田中：砂運に關する実験的研究。(3), 京大防災研究所年報 10号B, 1967, pp. 121-132.
- 2) C.F. Nordin and J.H. Algezt: Spectral analysis of sand waves, Proc. A.S.C.E. 92, HY. 5, pp. 95-104.
- 3) 日野、補岡、店次：波の砂運のスペクトルについての実験, オフ年次学術講演会講演集, 1968, pp. 121-125.
- 4) 青木、伊藤：海波変形のスペクトル特性について, 昭和47年中野互研研究会講演報告集, 1973, 2, pp. 95-99.

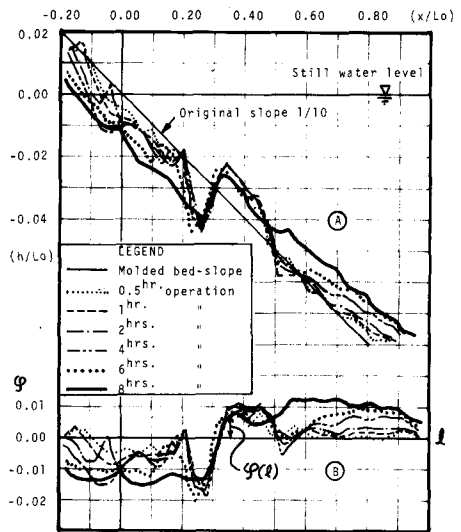


Fig. 3.

- (A) : Dimensionless plots of beach profile, (Run NO.8).
- (B) : Profile projected vertically on a horizontal plane from figure (A).

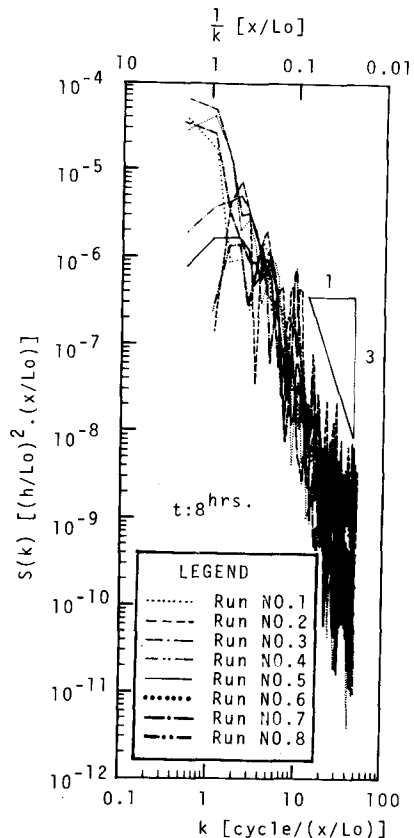


Fig. 4. Wave number spectra of beach processes.